

- Gao, W. X., Sasaki, M., Negishi, H., Takase, K. & Inoue, M. (1996). *J. Low Temp. Phys.* **102**, 487–497.
- Ghedira, M., Vincent, H., Marezio, M., Marcus, J. & Fur Caudot, G. (1985). *J. Solid State Chem.* **56**, 66–72.
- Inoue, M., Ohara, S., Horisaka, S., Koyano, M. & Negishi, H. (1988). *Phys. Status Solidi B*, **148**, 659–671.
- JCPDS (5–337). *Powder Diffraction File*, Set 5. The Joint Committee on Powder Diffraction Standards, 1845 Walnut Street, Philadelphia, Pennsylvania 19103, USA.
- Kihlborg, L. (1959). *Acta Chem. Scand.* **13**, 954–962.
- Koyano, M., Ohara, S., Negishi, H., Sasaki, M., Inoue, M., Nomura, M. & Fujiwara, H. (1988). *Phys. Status Solidi B*, **147**, 559–565.
- Magresi, A. (1948). *Acta Chem. Scand.* **2**, 861–871.
- Orpen, A. G., Brammer, L., Allen, F. H., Kennard, O., Watson, D. G. & Taylor, R. (1989). *J. Chem. Soc. Dalton Trans.* pp. S1–S3.
- Schlenger, C. (1989). In *Low-Dimensional Electronic Properties of Molybdenum Bronzes and Oxides*. Dordrecht/Boston/London: Kluwer Academic Publishers.
- Sheldrick, G. M. (1996). *SADABS. Program for Empirical Absorption Correction of Area Detector Data*. University of Göttingen, Germany.
- Siemens (1996a). *SHELXTL Reference Manual*. Version 5. Siemens Analytical X-ray Instruments Inc., Madison, Wisconsin, USA.
- Siemens (1996b). *SMART Software Reference Manual*. Siemens Analytical X-ray Instruments Inc., Madison, Wisconsin, USA.
- Siemens (1996c). *SAINT Software Reference Manual*. Version 4. Siemens Analytical X-ray Instruments Inc., Madison, Wisconsin, USA.
- Wyckoff, R. W. G. (1967). *Crystal Structures*, Vol. 2, pp. 84–85. New York/London/Sydney: Interscience Publishers (a division of John Wiley & Sons).

Acta Cryst. (1999). **C55**, 843–845

RbMoO₂AsO₄

MOHAMED FAOUZI ZID ET TAHAR JOUINI

Département de Chimie, Faculté des Sciences, 1060 Campus Universitaire, Tunis, Tunisia. E-mail: tahar.jouini@fst.rnu.tn

(Reçu le 20 avril 1998, accepté le 30 novembre 1998)

Abstract

The title compound, rubidium molybdyl arsenate, consists of AsO₄ tetrahedra and MoO₆ octahedra sharing corners to form a three-dimensional framework containing large tunnels, parallel to [110], where the Rb⁺ ions are located. It is shown that in the series AMoO₂XO₄ (*A* = Na, K, Rb; *X* = P, As), the only isotopic compounds are KM₂O₂PO₄ and RbMoO₂AsO₄ in which the ratio of atomic radii [*r*(K)/*r*(P) = *r*(Rb)/*r*(As)] remains constant.

Commentaire

Dans le but de trouver de nouveaux matériaux à charpente ouverte formée d'octaèdres et de tétraèdres,

nous poursuivons l'exploration du diagramme Rb–Mo–As–O dans lequel nous avons précédemment mis en évidence le composé en couches Rb₂MoO₂As₂O₇ (Zid *et al.*, 1998). Une nouvelle phase, RbMoO₂AsO₄, a été caractérisée dans ce diagramme. Elle est formée par une charpente anionique tridimensionnelle, MoO₂AsO₄, constituée d'octaèdres MoO₆ et des tétraèdres AsO₄ partageant des sommets. On peut la décomposer en chaînes (MoAsO₈)_n parallèles à la direction [110], reliées entre elles par les ponts mixtes Mo—O—As. Elles délimitent des tunnels où logent les cations Rb⁺ (Fig. 1). Le caractère ouvert de cette structure est mis en évidence dans la projection selon [110], où se manifestent des cycles à huit polyèdres constituant la section de larges canaux, communiquant selon la direction [001], par des fenêtres formées par des cycles à quatre polyèdres.

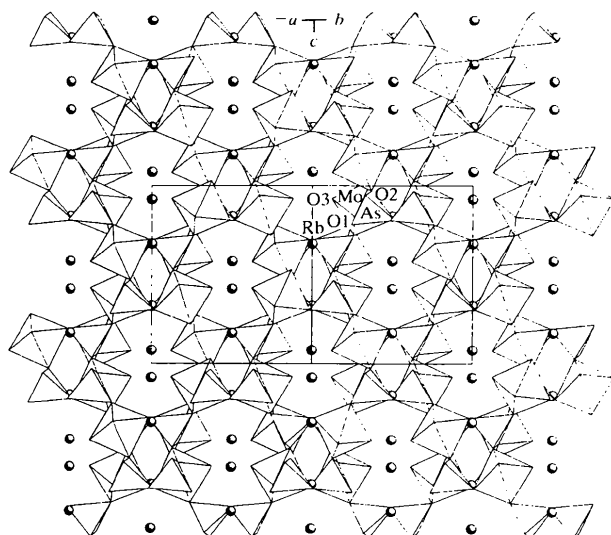


Fig. 1. Projection de la structure de RbMoO₂AsO₄ selon [110].

Les distances As—O, Mo—O et Rb—O (Tableau 1) sont en bon accord avec le nombre et la nature des liaisons formées dans les polyèdres AsO₄, MoO₆ et RbO₈. Elles sont conformes à celles rencontrées dans d'autres molybdényl arsénates (Zid & Jouini, 1996a,b,c; Zid *et al.*, 1998). En effet, le calcul des forces de valence (Brown & Altermatt, 1985; Brese & O'Keeffe, 1991) de ces liaisons confirment les valeurs de charges des ions As (+5,096), Mo (+5,023) et Rb (+1,028) attendues dans la structure.

L'examen de la série de composés de formulation analogue: NaMoO₂PO₄ (Kierkegaard, 1962), KM₂O₂PO₄ (Peascoe & Clearfield, 1991), NaMoO₂

AsO₄ (Zid *et al.*, 1997), KM_oO₂AsO₄ (Zid & Jouini, 1996a) et RbMoO₂AsO₄ montre que dans le cas où l'acalin seul a été remplacé, il n'y a pas eu isotopie. Ce n'est que dans le cas où il y a eu remplacement à la fois des atomes K et P par respectivement Rb et As, avec conservation du rapport des rayons $r(K)/r(P) = r(Rb)/r(As) = 2,05 (1)$ qu'il y a eu isotopie entre RbMoO₂AsO₄ et KM_oO₂PO₄.

Partie expérimentale

RbMoO₂AsO₄ a été préparé, sous forme de poudre polycristalline, à partir de Rb₂CO₃, NH₄H₂AsO₄ et (NH₄)₂Mo₄O₁₃ pris dans les rapports Rb:Mo:As = 1:1:1. Le mélange initial, finement broyé, est préchauffé à l'air à 650 K en vue de l'élimination de NH₃, H₂O et CO₂ puis porté à 773 K pendant quatre jours. Des cristaux de taille suffisante pour les mesures d'intensités ont été obtenus par une méthode de flux. Partant des réactifs pris dans les proportions Rb:Mo:As = 1:3:2, ce mélange est porté à la fusion à 923 K puis refroidi lentement à la vitesse de 5° toutes les 2 heures jusqu'à 873 K, avant d'être ramené à la température ambiante. Les cristaux obtenus sont séparés à l'eau bouillante.

Données cristallines

RbMoO ₂ AsO ₄	Mo K α radiation
$M_r = 352,33$	$\lambda = 0,71069 \text{ \AA}$
Orthorhombique	Paramètres de la maille à l'aide de 25 réflexions
<i>Fddd</i>	
$a = 12,694 (5) \text{ \AA}$	$\theta = 10-13^\circ$
$b = 16,353 (5) \text{ \AA}$	$\mu = 16,297 \text{ mm}^{-1}$
$c = 11,122 (3) \text{ \AA}$	$T = 293 (2) \text{ K}$
$V = 2309 (1) \text{ \AA}^3$	Prisme
$Z = 16$	$0,16 \times 0,14 \times 0,11 \text{ mm}$
$D_x = 4,055 \text{ Mg m}^{-3}$	Jaunâtre
D_m non mesurée	

Collection des données

Diffractomètre CAD-4	$R_{\text{int}} = 0,029$
Balayage $\omega/2\theta$	$\theta_{\text{max}} = 26,96^\circ$
Correction d'absorption:	$h = -16 \rightarrow 16$
empirique par ψ scans	$k = 0 \rightarrow 20$
(North <i>et al.</i> , 1968)	$l = 0 \rightarrow 14$
$T_{\text{min}} = 0,149$, $T_{\text{max}} = 0,167$	2 réflexions de référence
807 réflexions mesurées	fréquence: 120 min
638 réflexions indépendantes	variation d'intensité: 1,1%
524 réflexions avec	
$I > 2\sigma(I)$	

Affinement

Affinement à partir des F^2	$\Delta\rho_{\text{max}} = 0,911 \text{ e \AA}^{-3}$
$R[F^2 > 2\sigma(F^2)] = 0,024$	$\Delta\rho_{\text{min}} = -0,864 \text{ e \AA}^{-3}$
$wR(F^2) = 0,067$	Correction d'extinction:
$S = 1,173$	SHELXL93 (Sheldrick, 1993)
638 réflexions	Coefficient d'extinction:
44 paramètres	$3,7 (3) \times 10^{-4}$
$w = 1/[\sigma^2(F_o^2) + (0,0238P)^2$	Facteurs de diffusion des
+ 43,6855P]	International Tables for
où $P = (F_o^2 + 2F_c^2)/3$	Crystallography (Tome C)
$(\Delta/\sigma)_{\text{max}} = 0,001$	

Tableau 1. Coordonnées atomiques et facteurs d'agitation thermique isotrope équivalents (\AA^2)

	x	y	z	U_{eq}
Mo	0,40346 (4)	1/8	1/8	0,0106 (2)
As	3/8	1,00469 (4)	-1/8	0,0089 (2)
Rb	1/8	1/8	0,32661 (8)	0,0270 (3)
O1	0,5348 (3)	0,0493 (2)	0,1967 (3)	0,0176 (8)
O2	0,4380 (3)	0,0697 (2)	-0,0294 (3)	0,0137 (7)
O3	0,3175 (3)	0,0542 (3)	0,1765 (4)	0,0297 (9)

Tableau 2. Paramètres géométriques (\AA , °)

Mo—O3	1,691 (4)	As—O2 ^v	1,703 (3)
Mo—O3 ⁱ	1,691 (4)	Rb—O2 ^{vi}	3,003 (4)
Mo—O2	1,990 (3)	Rb—O2 ^{vii}	3,003 (4)
Mo—O2 ⁱ	1,990 (3)	Rb—O3 ^{viii}	3,020 (5)
Mo—O1	2,224 (4)	Rb—O3 ^{ix}	3,021 (5)
Mo—O1 ⁱ	2,224 (4)	Rb—O1 ^x	3,033 (4)
As—O1 ⁱⁱ	1,651 (4)	Rb—O1 ^{xi}	3,033 (4)
As—O1 ⁱⁱⁱ	1,651 (4)	Rb—O3	3,178 (4)
As—O2 ^{iv}	1,703 (3)	Rb—O3 ^{xii}	3,178 (4)
O3—Mo—O3 ⁱ	99,6 (3)	O3 ⁱ —Mo—O1 ⁱ	88,9 (2)
O3—Mo—O2	97,1 (2)	O2—Mo—O1 ⁱ	77,21 (14)
O3 ⁱ —Mo—O2	99,3 (2)	O2 ⁱ —Mo—O1 ⁱ	83,75 (14)
O3—Mo—O2 ⁱ	99,3 (2)	O1—Mo—O1 ⁱ	82,9 (2)
O3 ⁱ —Mo—O2 ⁱ	97,1 (2)	O1 ⁱⁱ —As—O1 ⁱⁱⁱ	115,4 (3)
O2—Mo—O2 ⁱ	154,5 (2)	O1 ⁱⁱ —As—O2 ^{iv}	108,0 (2)
O3—Mo—O1	88,9 (2)	O1 ⁱⁱⁱ —As—O2 ^{iv}	111,0 (2)
O3 ⁱ —Mo—O1	170,5 (2)	O1 ⁱⁱ —As—O2 ^v	111,0 (2)
O2—Mo—O1	83,75 (14)	O1 ⁱⁱⁱ —As—O2 ^v	108,0 (2)
O2 ⁱ —Mo—O1	77,21 (14)	O2 ^{iv} —As—O2 ^v	102,8 (3)
O3—Mo—O1 ⁱ	170,5 (2)		

Codes de symétrie: (i) $x, \frac{1}{4} - y, \frac{1}{4} - z$; (ii) $x - \frac{1}{4}, 1 - y, z - \frac{1}{4}$; (iii) $1 - x, 1 - y, -z$; (iv) $\frac{3}{4} - x, 1 + y, -\frac{1}{4} - z$; (v) $x, 1 + y, z$; (vi) $x - \frac{1}{2}, y, \frac{1}{2} + z$; (vii) $\frac{3}{4} - x, \frac{1}{4} - y, \frac{1}{2} + z$; (viii) $\frac{1}{2} - x, -y, \frac{1}{2} - z$; (ix) $x - \frac{1}{4}, \frac{1}{4} + y, \frac{1}{2} - z$; (x) $\frac{3}{4} - x, y, \frac{1}{4} - z$; (xi) $x - \frac{1}{2}, \frac{1}{4} - y, \frac{3}{4} - z$; (xii) $\frac{1}{4} - x, \frac{1}{4} - y, z$.

La largeur de balayage est $(0,76 + 0,53\tan\theta)^\circ$. Les intensités ont été corrigées des facteurs de Lorentz et polarisation.

Collection des données: CAD-4 EXPRESS (Enraf-Nonius, 1994; Duisenberg, 1992; Macícek & Yordanov, 1992). Affinement des paramètres de la maille: CAD-4 EXPRESS. Réduction des données: MolEN (Fair, 1990). Programme(s) pour la solution de la structure: SHELXS86 (Sheldrick, 1990). Programme(s) pour l'affinement de la structure: SHELXL93 (Sheldrick, 1993). Graphisme moléculaire: ATOMS (Dowty, 1993).

Des documents complémentaires concernant cette structure peuvent être obtenus à partir des archives électroniques de l'UICr (Référence: GS1008). Les processus d'accès à ces archives sont donné au dos de la couverture.

Références

- Brese, N. E. & O'Keeffe, M. (1991). *Acta Cryst.* B47, 192–197.
- Brown, I. D. & Alterman, D. (1985). *Acta Cryst.* B41, 244–247.
- Dowty, E. (1993). ATOMS. Version 2.3. Shape Software, 521 Hidden Valley Road, Kingsport, TN 37663, EU.
- Duisenberg, A. J. M. (1992). *J. Appl. Cryst.* 25, 92–96.
- Enraf-Nonius (1994). CAD-4 EXPRESS. Version 5.1/1.2. Enraf-Nonius, Delft, Les Pays-Bas.
- Fair, C. K. (1990). MolEN. An Interactive Intelligent System for Crystal Structure Analysis. Enraf-Nonius, Delft, Les Pays-Bas.
- Kierkegaard, P. (1962). *Ark. Kemi.* 18, 553–575.
- Macícek, J. & Yordanov, A. (1992). *J. Appl. Cryst.* 25, 73–80.
- North, A. C. T., Phillips, D. C. & Mathews, F. S. (1968). *Acta Cryst.* A24, 351–359.

- Peascoe, R. & Clearfield, A. (1991). *J. Solid State Chem.* **95**, 83–93.
 Sheldrick, G. M. (1990). *Acta Cryst. A46*, 467–473.
 Sheldrick, G. M. (1993). *SHELXL93. Program for the Refinement of Crystal Structures*. Université de Göttingen, Allemagne.
 Zid, M. F., Driss, A. & Jouini, T. (1997). *J. Solid State Chem.* **133**, 386–390.
 Zid, M. F., Driss, A. & Jouini, T. (1998). *J. Solid State Chem.* **141**, 500–507.
 Zid, M. F. & Jouini, T. (1996a). *Acta Cryst. C52*, 3–5.
 Zid, M. F. & Jouini, T. (1996b). *Acta Cryst. C52*, 1334–1336.
 Zid, M. F. & Jouini, T. (1996c). *Acta Cryst. C52*, 2947–2949.

Acta Cryst. (1999). **C55**, 845–847

A new modification of NaCoPO₄ with the zeolite ABW structure

ANN M. CHIPPINDALE,^{a*} ANDREW R. COWLEY,^a JIESHENG CHEN,^{b*} QIUMING GAO^b AND RUREN XU^b

^aChemical Crystallography Laboratory, 9 Parks Road, Oxford OX1 3PD, England, and ^bKey Laboratory of Inorganic Synthesis and Preparative Chemistry, Department of Chemistry, Jilin University, Changchun 130023, People's Republic of China. E-mail: ann.chippindale@chem.ox.ac.uk

(Received 15 February 1999; accepted 17 March 1999)

Abstract

The title compound, sodium cobalt(II) phosphate, a new polymorph of NaCoPO₄, crystallizes as a monoclinic modification of the zeolite ABW structure. The five-coordinate Na⁺ cations reside within channels running through an open cobalt–phosphate framework constructed from four-, six- and eight-membered rings of alternating CoO₄ and PO₄ tetrahedra. The channels are enclosed by the eight-membered rings.

Comment

A number of phases of formula NaCoPO₄, in which Na⁺ cations reside in channels within three-dimensional cobalt–phosphate frameworks, have been characterized previously. The orthorhombic and hexagonal forms, α -NaCoPO₄ (pink) and β -NaCoPO₄ (blue), prepared originally by high-temperature solid-state reaction (Hammond & Barbier, 1996) and subsequently by hydrothermal synthesis at a moderate temperature (Feng *et al.*, 1997, 1997a), contain Co²⁺ in an octahedral and tetrahedral coordination, respectively. A third polymorph (dark red), also synthesized hydrothermally, contains trigonal-bipyramidal Co²⁺ cations (Feng *et al.*, 1997b).

We report here a new form of NaCoPO₄ which has the tetrahedron-based ABW zeolite framework topol-

ogy (Meier *et al.*, 1996). Although modifications of NH₄CoPO₄ and RbCoPO₄ also exhibit the ABW topology (Feng *et al.*, 1997), the structure of the title compound is distinct from these, as considerable distortion of the cobalt–phosphate framework occurs in order to provide the smaller Na⁺ cation with a more suitable coordination environment. The ability to accommodate Na⁺, as well as NH₄⁺ and Rb⁺ cations, demonstrates the flexibility of the ABW cobalt–phosphate framework.

The structure of the title compound is similar to that of NaZnPO₄ (Ng & Harrison, 1998). The asymmetric unit contains one Co and one P atom, each of which is coordinated by four O atoms to form CoO₄ and PO₄ tetrahedra, respectively. The CoO₄ tetrahedron has approximately regular geometry, with a mean Co–O bond length of 1.962 Å, which is typical for tetrahedral CoO₄ units. The PO₄ tetrahedron also has an approximately regular geometry, with a mean P–O bond length of 1.535 Å. These tetrahedra are vertex-linked alternately to form buckled chains of edge-sharing four-membered rings running parallel to the crystallographic *a* axis. Crosslinking of these chains forms a three-dimensional structure with the ABW topology, containing four-, six- and eight-membered rings of tetrahedra. The framework encloses channels running parallel to the *a* axis (Fig. 1). These are enclosed by very elongated elliptical eight-membered rings of tetrahedra, with cross-ring dimen-

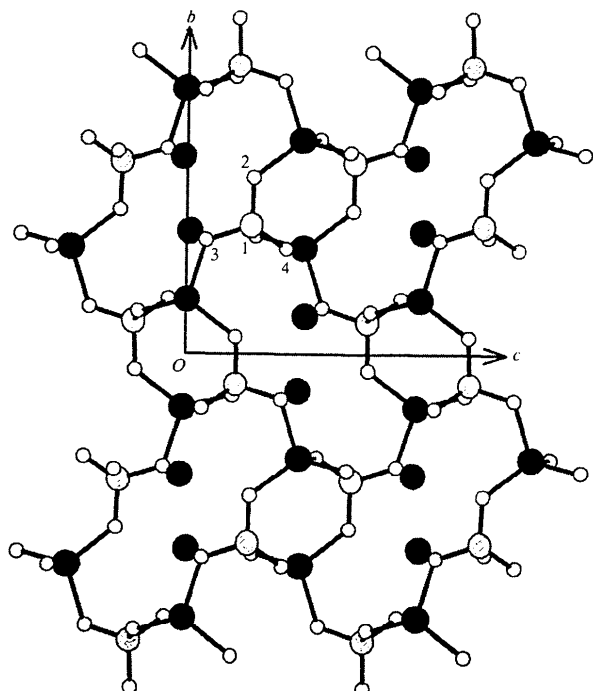


Fig. 1. View (ATOMS; Dowty, 1997) of the title compound along the crystallographic *a* axis, showing Na⁺ cations residing within channels bounded by highly elongated elliptical eight-membered rings of alternating CoO₄ and PO₄ tetrahedra. (Key: Co and Na black, P grey and O white.)